



# **ANÁLISE DA RESPOSTA EM FREQUÊNCIA**

## **DIAGRAMA DE NYQUIST PARA SISTEMAS COM SINGULARIDADES NA ORIGEM**

**Profa. Cristiane Paim**

# Introdução

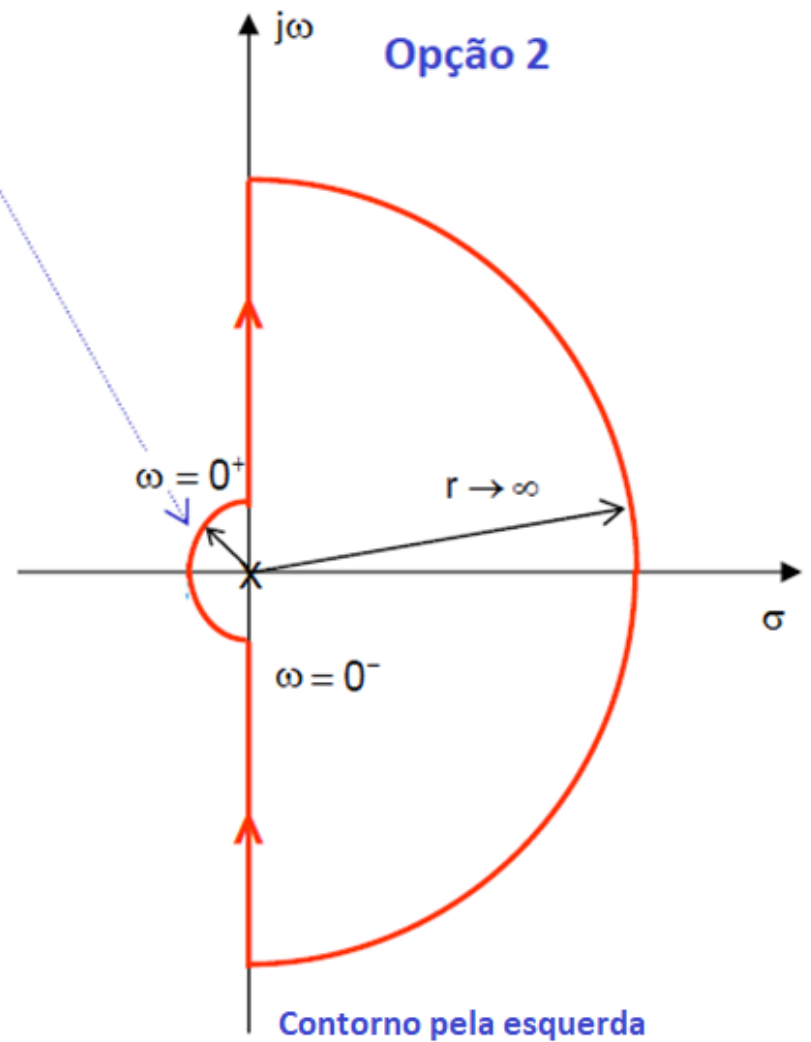
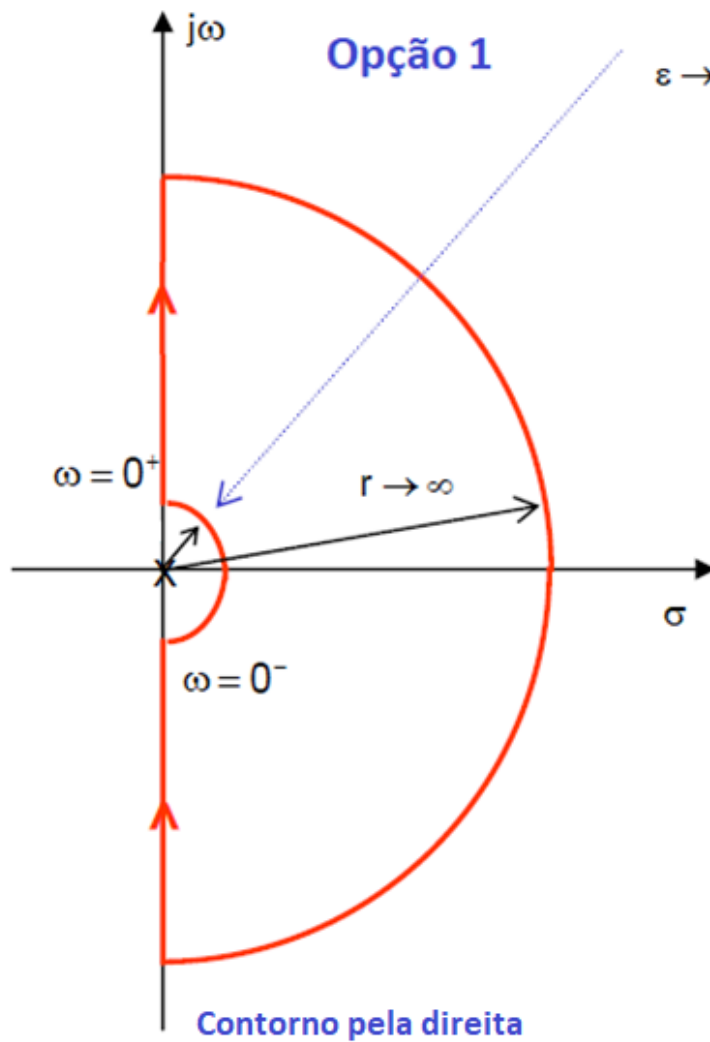
Quando a função de transferência em análise possuir singularidade(s) na origem é necessário **modificar o contorno de Nyquist de modo a evitar esta(s) singularidade(s).**

**A singularidade é evitada traçando-se uma semicircunferência de raio  $\varepsilon$  muito pequeno em torno desta.** Para o traçado do Diagrama de Nyquist faz-se  $\varepsilon \rightarrow 0$ .

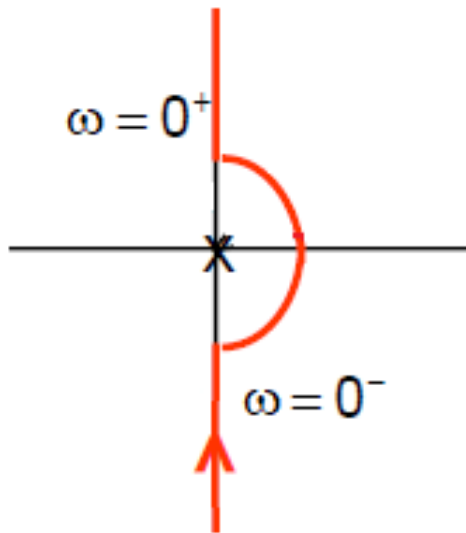
Existem duas possibilidades para o contorno de uma singularidade sobre o eixo imaginário.

Considerando, por exemplo, um polo na origem, os dois contornos definidos a seguir pode ser utilizados.

# Contornos da origem



# Contornos da origem

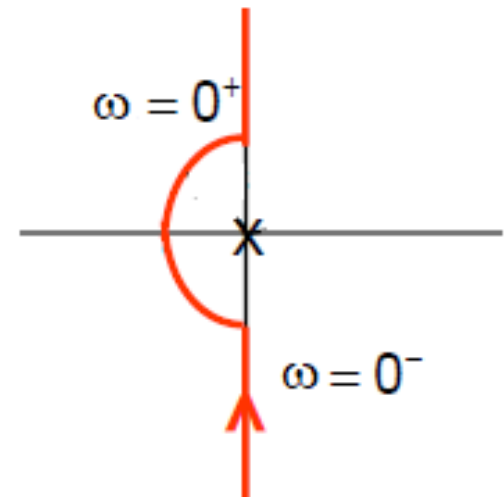


## CONTORNO PELA DIREITA

A origem é evitada usando uma semicircunferência que varia no **sentido anti-horário** de  $0^-$  a  $0^+$ , de  $-90^\circ$  a  $+90^\circ$ .

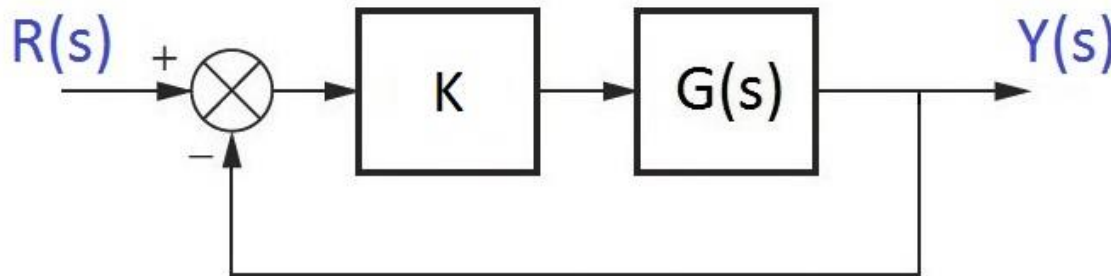
## CONTORNO PELA ESQUERDA

A origem é evitada usando uma semicircunferência que varia no **sentido horário**. Neste caso, o polo na origem está dentro do contorno de Nyquist e, portanto, precisa ser considerado na análise.



## Exemplo 1 – polo na origem

Analisar a estabilidade do sistema para  $-\infty < K < \infty$ , utilizando o Critério de Nyquist.



$$G(s) = \frac{1}{s(s+1)^2} = \frac{1}{s^3 + 2s^2 + s}$$

$$G(j\omega) = \frac{1}{-2\omega^2 + j\omega(1-\omega^2)} = \frac{-2\omega^2 - j\omega(1-\omega^2)}{4\omega^4 + \omega^2(1-\omega^2)^2}$$

## Exemplo 1 – polo na origem

### Diagrama de Nyquist

$$G(j\omega) = \frac{-2}{4\omega^2 + (1 - \omega^2)^2} - j \frac{(1 - \omega^2)}{4\omega^3 + \omega(1 - \omega^2)^2}$$

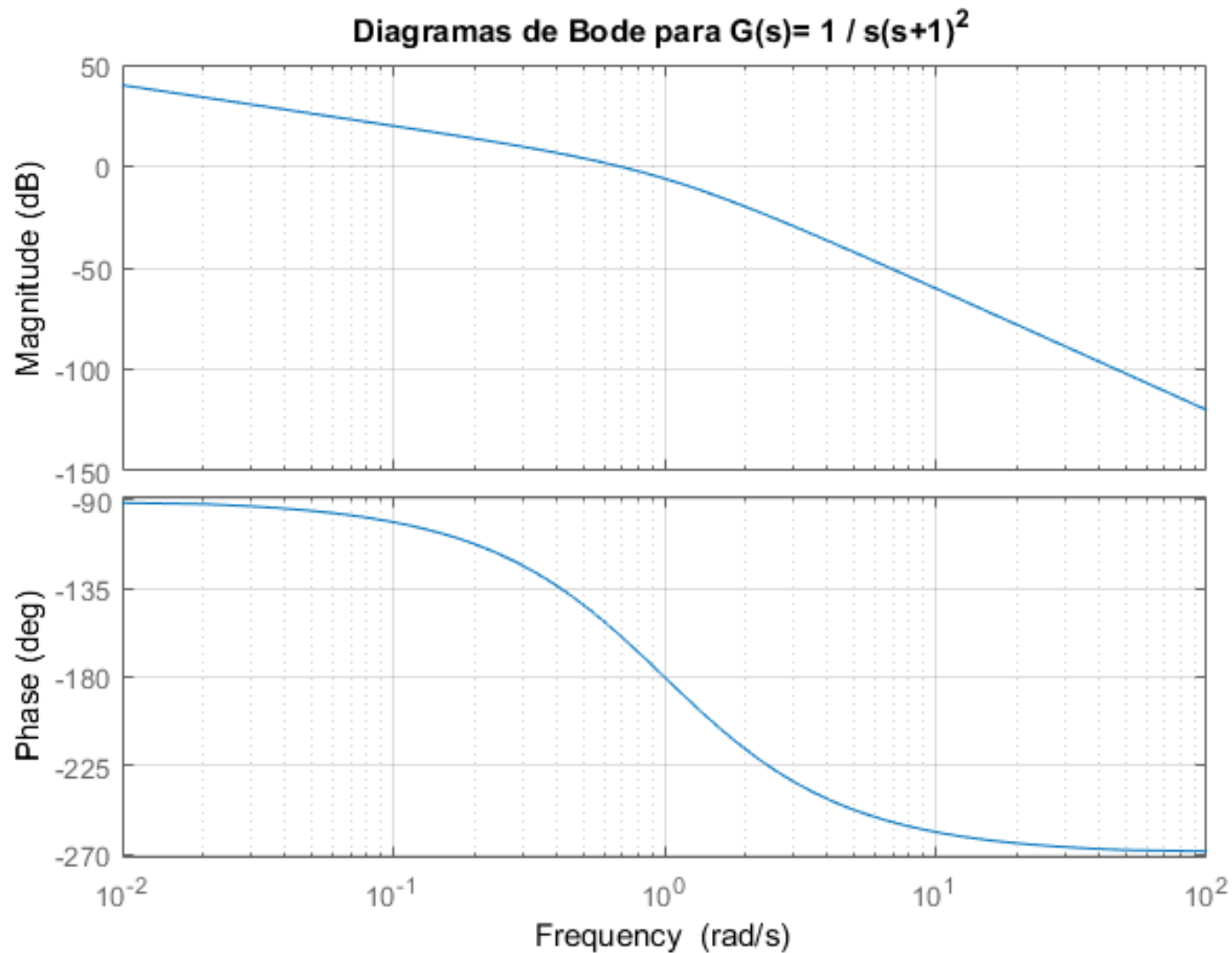
$$\omega = 0^+ \quad G(0^+) = -2 - j\infty = \infty \angle -90^\circ$$

$$\omega = +\infty \quad G(j\omega) \approx \frac{1}{(j\omega)^3} = j \frac{1}{\infty} = 0 \angle 90^\circ$$

$$\omega = -\infty \quad G(-\infty) = 0 \angle -90^\circ$$

$$\omega = 0^- \quad G(0^-) = \infty \angle 90^\circ$$

# Exemplo 1 – polo na origem (Diagramas de Bode)





## Exemplo 1 – polo na origem

$$G(j\omega) = \frac{-2}{4\omega^2 + (1 - \omega^2)^2} - j \frac{(1 - \omega^2)}{4\omega^3 + \omega(1 - \omega^2)^2}$$

Cruzamento com eixo real:

$$1 - \omega^2 = 0 \rightarrow \omega = \pm 1$$

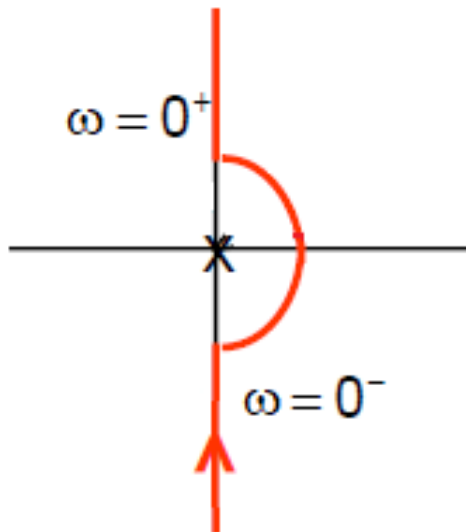
$$\omega = \pm 1 \rightarrow G(j\omega) = -\frac{1}{2}$$

Cruzamento com eixo imaginário:  $\omega = \pm\infty$



## Exemplo 1 – polo na origem

### Análise do comportamento em torno da origem



Seja o contorno pela direita e  $s = \varepsilon e^{j\theta}$ . Neste caso,  $\theta$  varia de  $0^-$  a  $0^+$ , de  $-90^\circ$  a  $+90^\circ$ , no **sentido anti-horário**.

Assim,

$$G(s) = \frac{1}{\varepsilon e^{j\theta} (\varepsilon e^{j\theta} + 1)^2} = \frac{1}{\varepsilon} e^{-j\theta} \frac{1}{(\varepsilon e^{j\theta} + 1)^2}$$

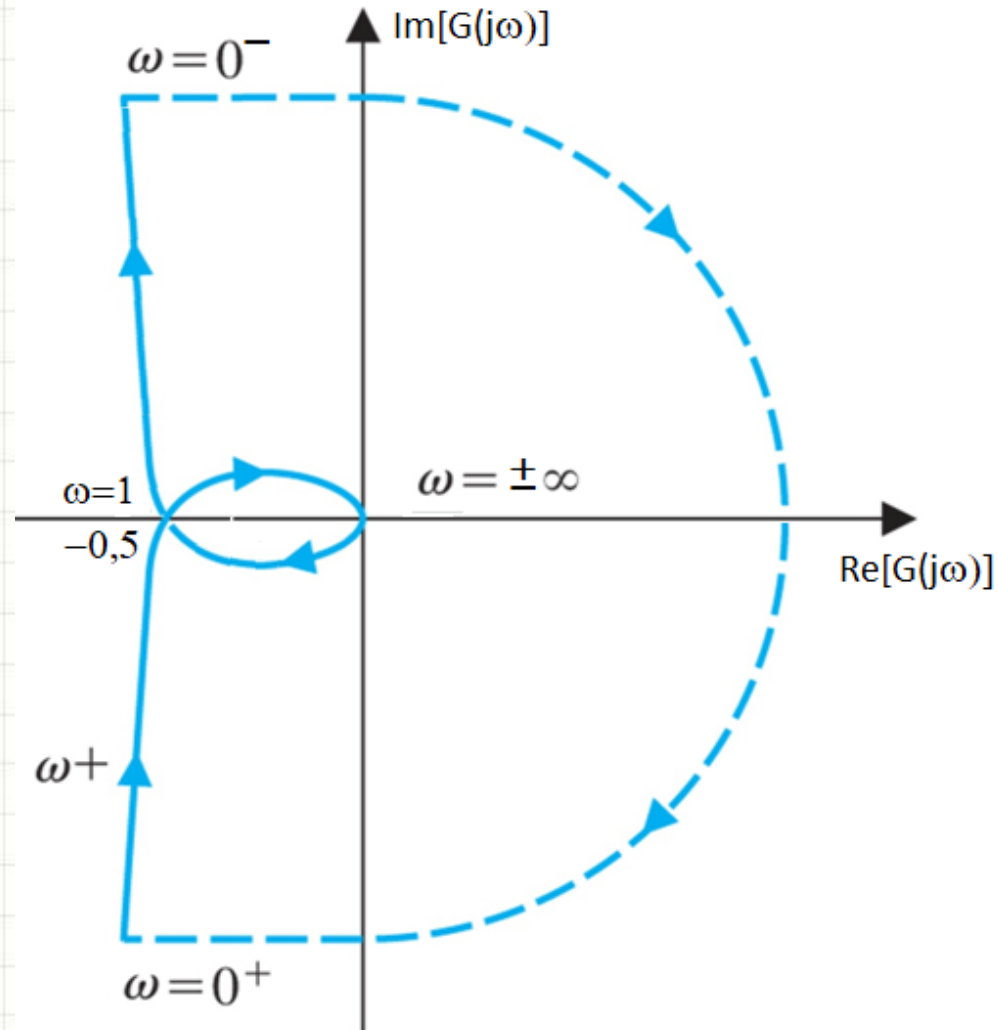
## Exemplo 1 – polo na origem

Para  $\varepsilon \rightarrow 0$ , tem-se

$$G(s) \approx \frac{1}{0} e^{-j\theta} = \infty \angle -\theta$$

que representa no Diagrama de Nyquist uma **semicircunferência de raio infinito no sentido horário.**

## Exemplo 1 – polo na origem



## Exemplo 1 – polo na origem

### Análise da estabilidade

Como  $G(s)$  não possui polos no SPD,  $P=0$ .

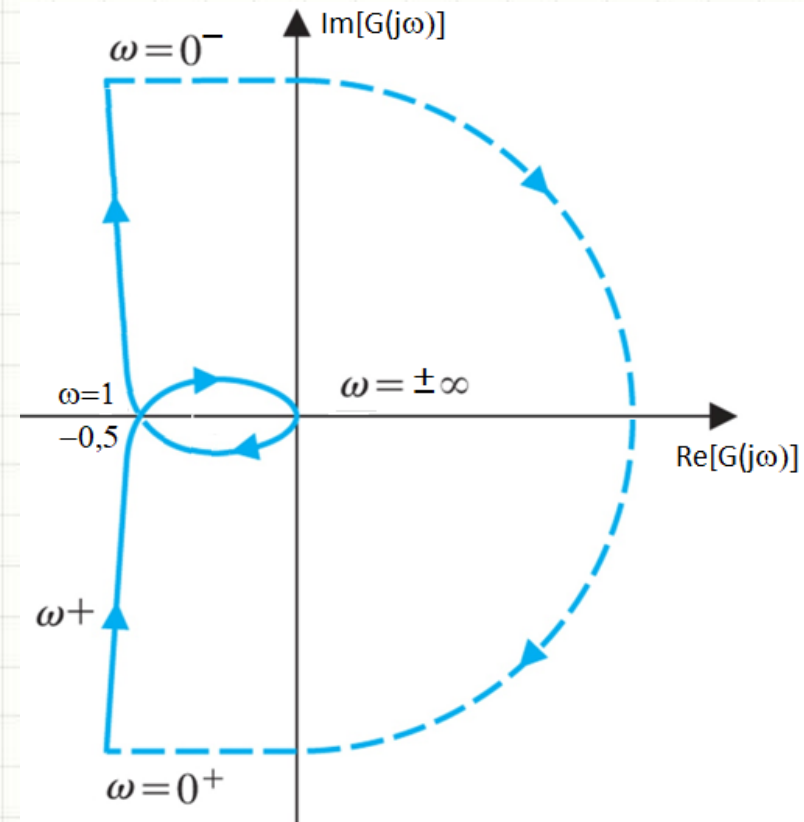
Logo, para estabilidade é necessário  $N=0$ .

Do Diagrama de Nyquist observa-se que  $N=0$  quando

$$-\frac{1}{K} < -\frac{1}{2} \Rightarrow 0 < K < 2$$

Portanto, o sistema é estável para

$$0 < K < 2$$



## Exemplo 1 – polo na origem

### Análise para variação completa do ganho K

$N=1 \Rightarrow$  Sistema instável com 1 polo no SPD.

$$-\frac{1}{K} > 0 \rightarrow K < 0$$

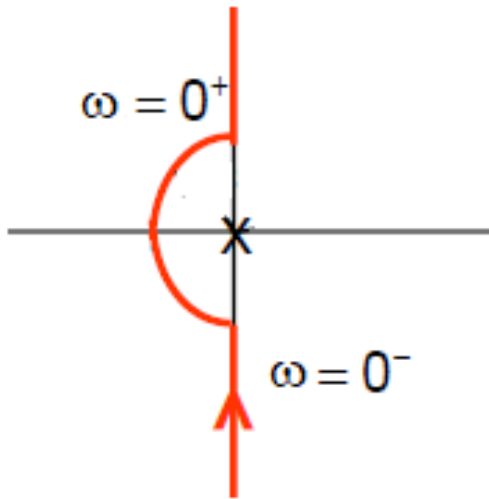
$N=2 \Rightarrow$  Sistema instável com 2 polos no SPD.

$$\begin{aligned} -\frac{1}{2} < -\frac{1}{K} < 0 & \quad -\frac{1}{K} < 0 \rightarrow K > 0 \\ & \quad -\frac{1}{K} > -\frac{1}{2} \rightarrow K > 2 \end{aligned}$$

Ou seja,  $K > 2$ .

## Exemplo 1b – polo na origem (contorno pela esquerda)

E se fosse utilizado o contorno pela esquerda para o polo da origem?



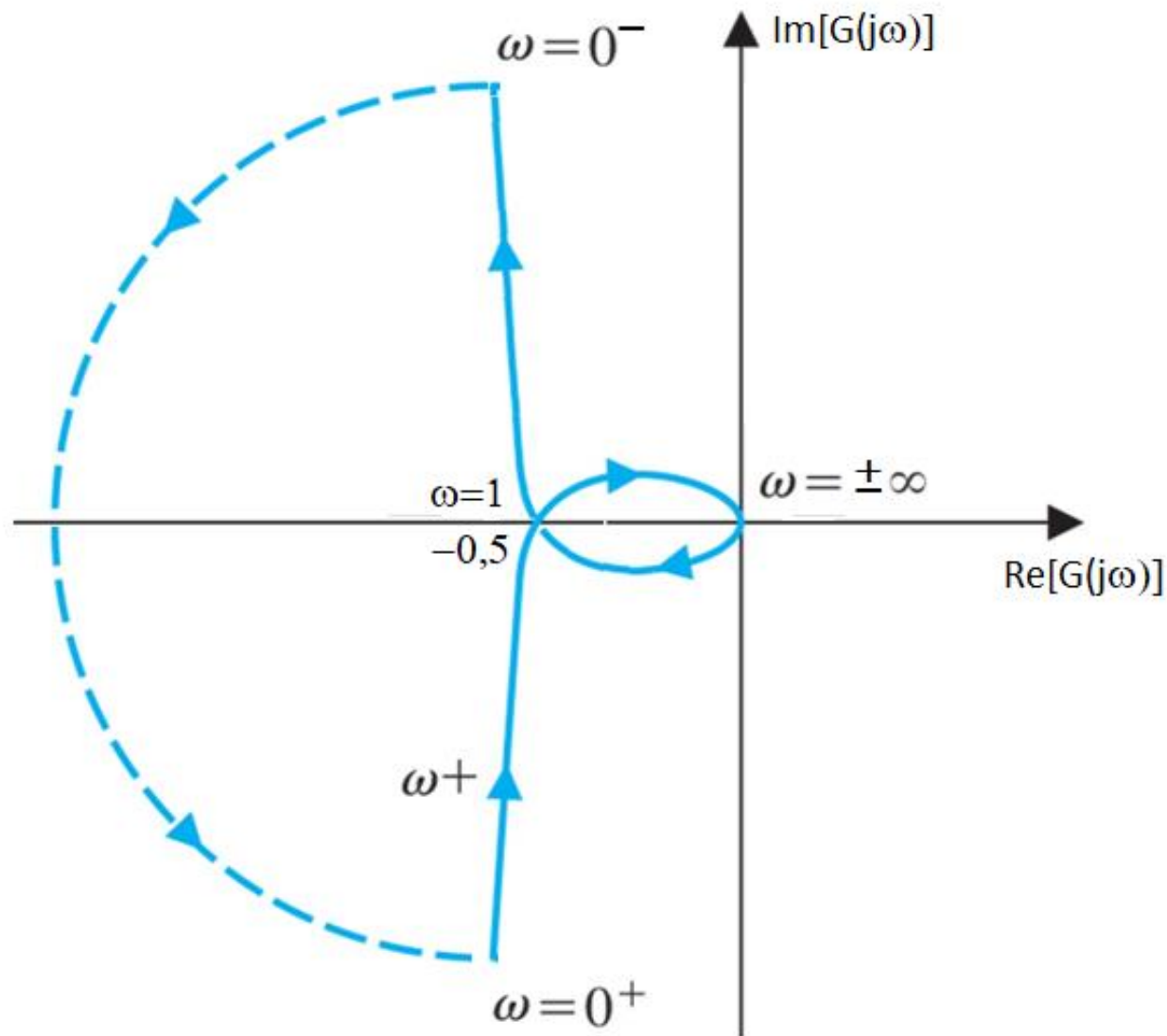
Seja o contorno pela esquerda e  $s = \epsilon e^{j\theta}$ . Agora  $\theta$  varia de  $0^-$  a  $0^+$ , de  $-90^\circ$  a  $+90^\circ$ , no **sentido horário**.

A análise para  $\epsilon \rightarrow 0$  é similar:

$$G(s) \approx \frac{1}{0} e^{-j\theta} = \infty \angle -\theta$$

Porém, representa agora uma **semicircunferência de raio infinito no sentido anti-horário**.

## Exemplo 1b – polo na origem (contorno pela esquerda)



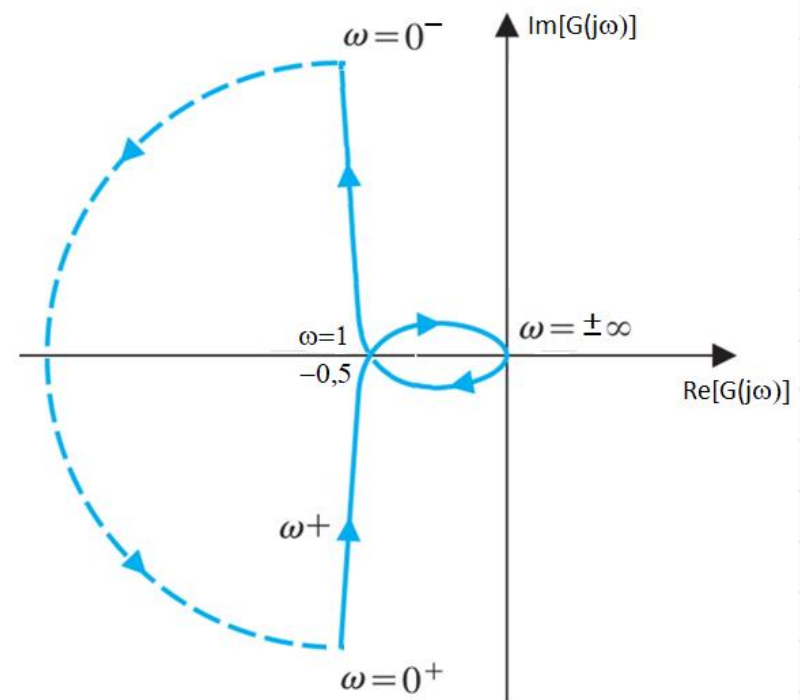


## Exemplo 1b – polo na origem (contorno pela esquerda)

### Análise da estabilidade

Como o contorno de Nyquist inclui o polo da origem, este precisa ser contabilizado, logo, **P=1**.

Assim, para estabilidade é necessário  $N=-1$ , ou seja, um **contorno no sentido anti-horário**.



## Exemplo 1b – polo na origem (contorno pela esquerda)

### Análise da estabilidade

Do Diagrama de Nyquist observa-se que  $N=-1$  quando

$$-\frac{1}{K} < -\frac{1}{2} \Rightarrow 0 < K < 2$$

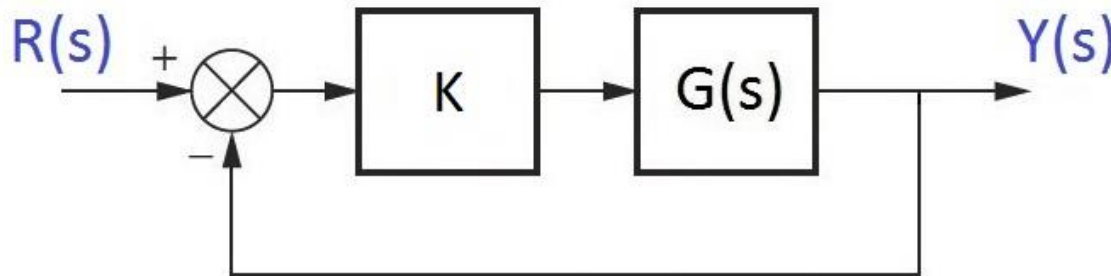
Portanto, o sistema é estável para

$$0 < K < 2$$

Mesma conclusão obtida contornando o polo na origem pela direita (sentido anti-horário).

## Exemplo 2 – polo duplo na origem

Analisar a estabilidade do sistema para  $-\infty < K < +\infty$ , utilizando o Critério de Nyquist.



$$G(s) = \frac{1}{s^2(s+1)} = \frac{1}{s^3 + s^2}$$

$$G(j\omega) = \frac{-1}{\omega^2(\omega^2 + 1)} + j \frac{1}{\omega(\omega^2 + 1)}$$

## Exemplo 2 – polo duplo na origem

### Diagrama de Nyquist

$$G(j\omega) = \frac{-1}{\omega^2(\omega^2 + 1)} + j \frac{1}{\omega(\omega^2 + 1)}$$

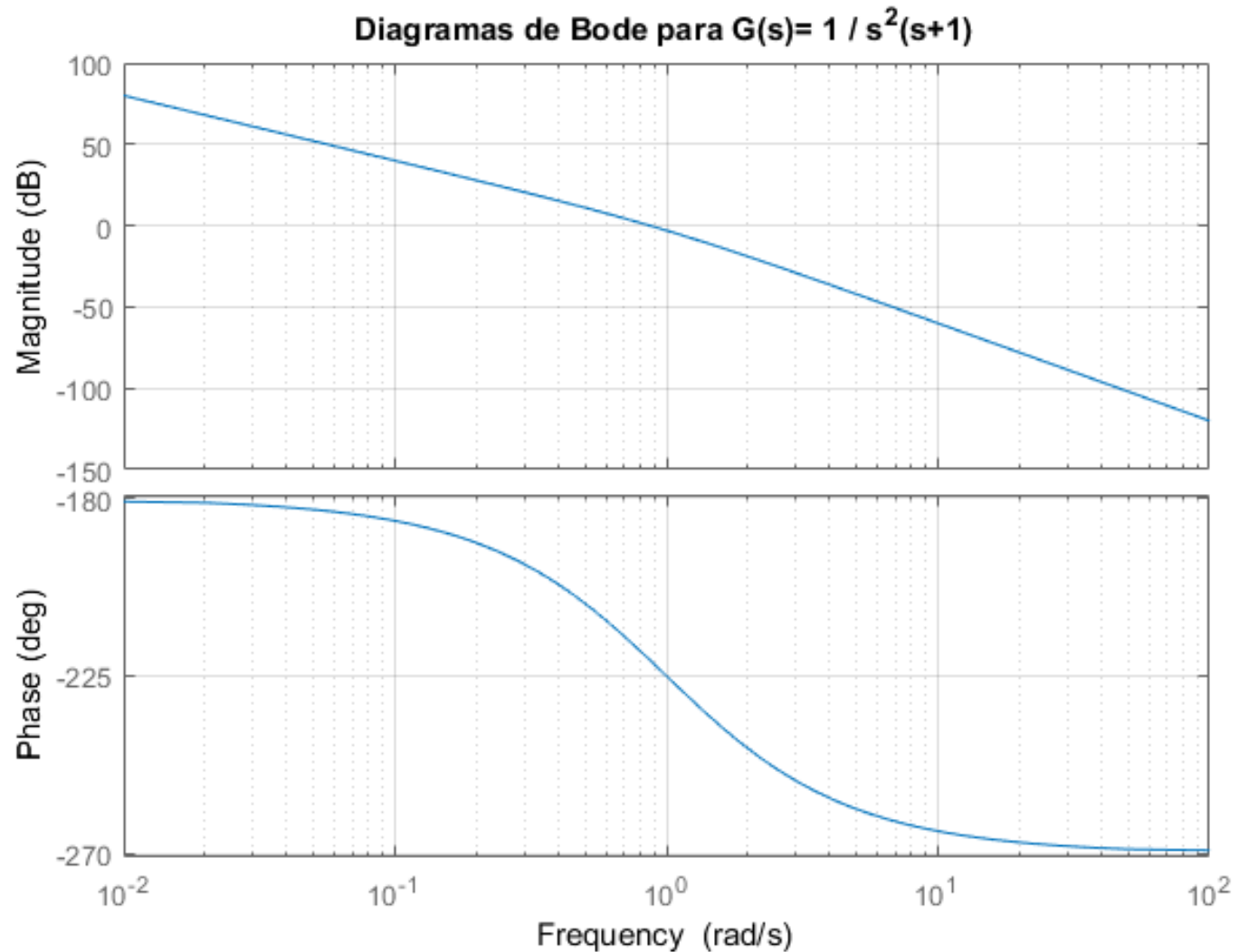
$$\omega = 0^+ \quad G(0^+) = \frac{-1 + j}{0} = \infty \angle -180^\circ$$

$$\omega = +\infty \quad G(j\omega) \approx \frac{1}{(j\omega)^3} = j \frac{1}{\infty} = 0 \angle 90^\circ$$

$$\omega = -\infty \quad G(-\infty) = 0 \angle -90^\circ$$

$$\omega = 0^- \quad G(0^-) = \infty \angle 180^\circ$$

## Exemplo 2 – polo duplo na origem (Diagramas de Bode)

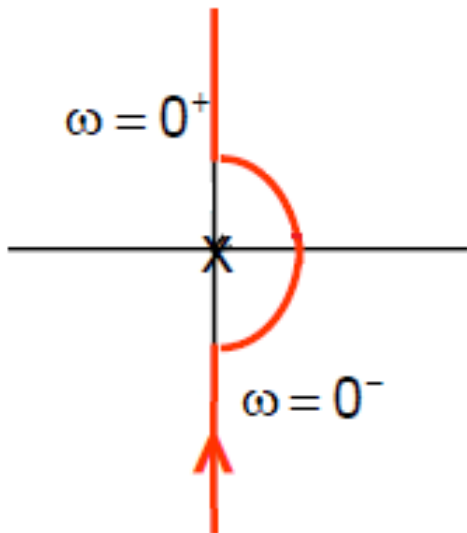


## Exemplo 2 – polo duplo na origem

Cruzamento com eixo real: :  $\omega = \pm\infty$

Cruzamento com eixo imaginário:  $\omega = \pm\infty$

Análise do comportamento em torno da origem



Seja o contorno pela direita e  $s = \varepsilon e^{j\theta}$ , sendo que  $\theta$  varia de  $0^-$  a  $0^+$ , de  $-90^\circ$  a  $+90^\circ$ , no **sentido anti-horário**.

## Exemplo 2 – polo duplo na origem

Assim,

$$G(s) = \frac{1}{\varepsilon^2 e^{j2\theta} (\varepsilon e^{j\theta} + 1)} = \frac{1}{\varepsilon^2} e^{-j2\theta} \frac{1}{(\varepsilon e^{j\theta} + 1)}$$

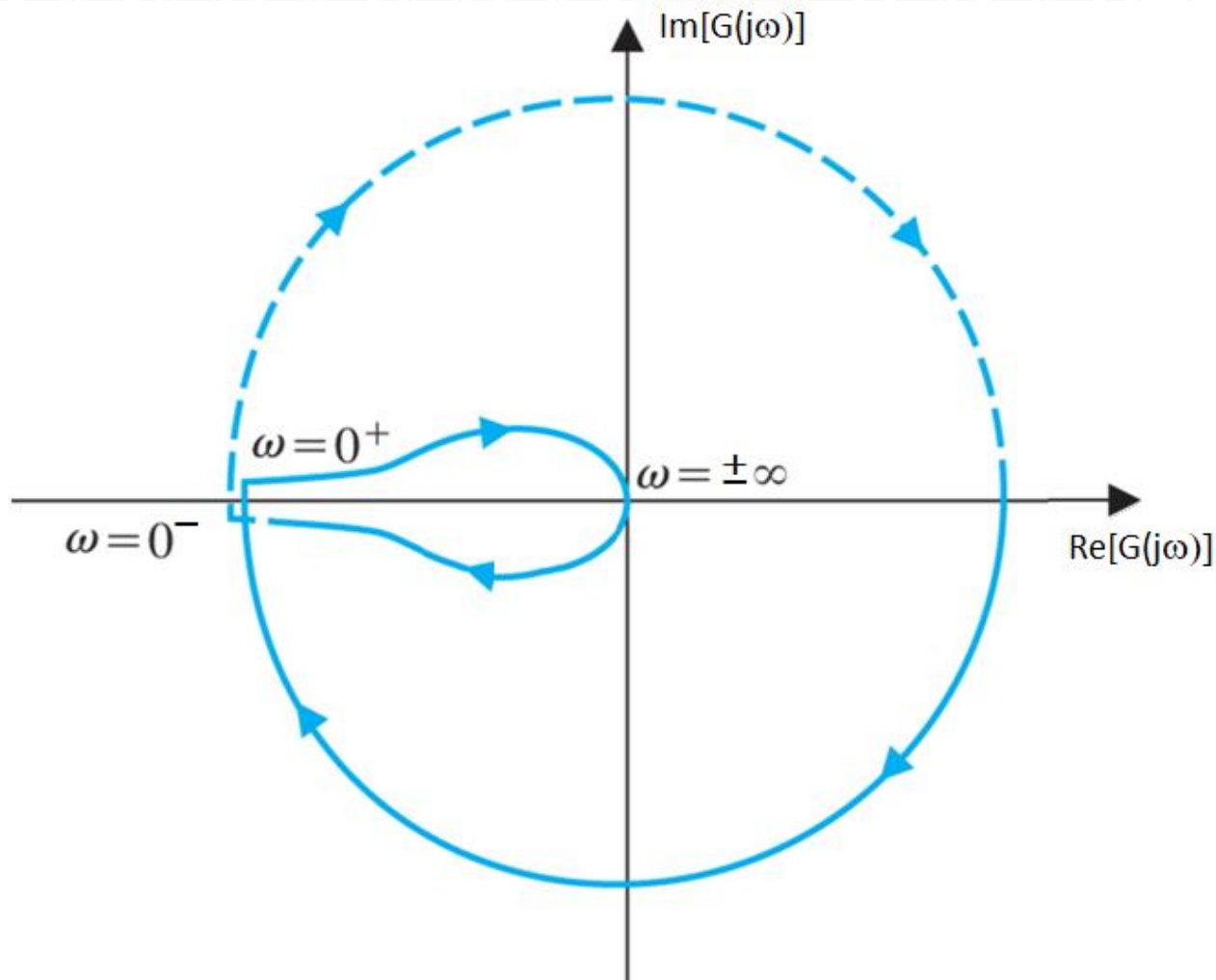
Para  $\varepsilon \rightarrow 0$ , tem-se

$$G(s) \approx \frac{1}{0} e^{-j2\theta} = \infty \angle -2\theta$$

que representa no Diagrama de Nyquist uma **circunferência de raio infinito no sentido horário**.



## Exemplo 2 – polo duplo na origem



## Exemplo 2 – polo duplo na origem

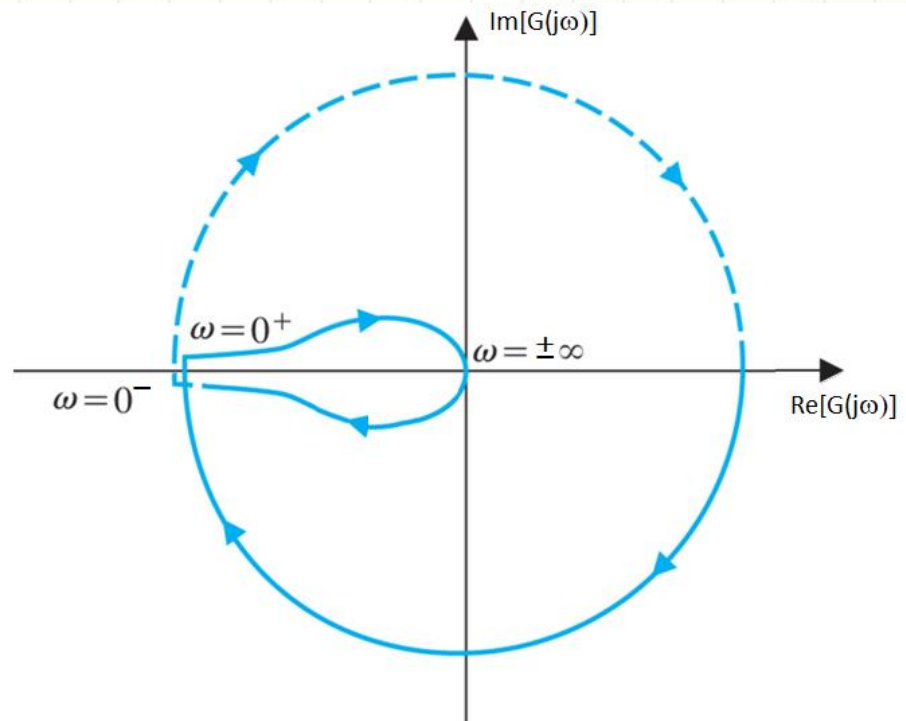
### Análise da estabilidade

$P=0$ :  $G(s)$  não possui polos no SPD

Logo, para estabilidade é necessário  $N=0$ .

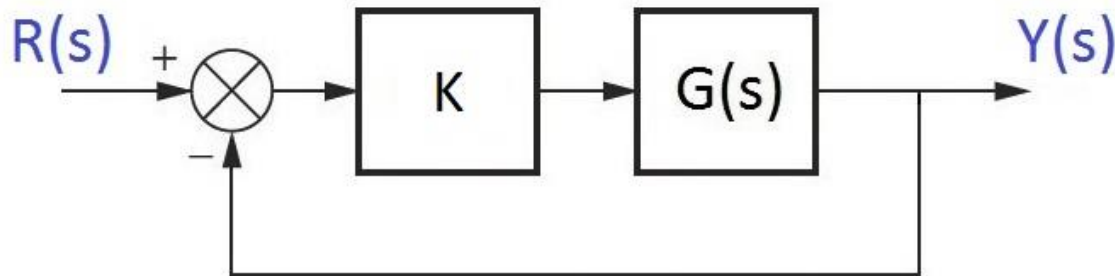
Do Diagrama de Nyquist observa-se que é impossível obter-se  $N=0$ .

**Portanto, o sistema  
é instável para  $\forall K$ .**



## Exemplo 3 – zero na origem

Analisar a estabilidade do sistema para  $-\infty < K < +\infty$ , utilizando o Critério de Nyquist.



$$G(s) = \frac{8s}{(s-1)(s-2)} = \frac{8s}{s^2 - 3s + 2}$$

$$G(j\omega) = \frac{j8\omega}{(2 - \omega^2) - j3\omega}$$

## Exemplo 3 – zero na origem

### Diagrama de Nyquist

$$G(j\omega) = \frac{-24\omega^2}{(2-\omega^2)^2 + 9\omega^2} + j \frac{8\omega(2-\omega^2)}{(2-\omega^2)^2 + 9\omega^2}$$

$$\omega = 0^+ \quad G(0^+) = \frac{-0 + j0}{4} = 0 \angle 90^\circ$$

$$\omega = +\infty \quad G(j\omega) \approx \frac{1}{(j\omega)} = -j \frac{1}{\infty} = 0 \angle -90^\circ$$

$$\omega = -\infty \quad G(-\infty) = 0 \angle 90^\circ$$

$$\omega = 0^- \quad G(0^-) = 0 \angle -90^\circ$$

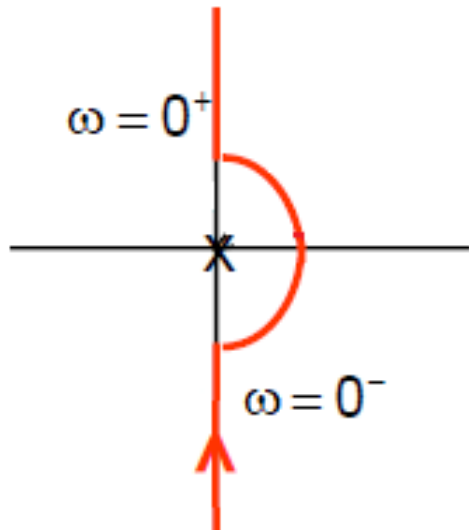
### Exemplo 3 – zero na origem

Cruzamento com eixo imaginário:  $\omega=0$

Cruzamento com eixo real:  $\omega=0$  ou  $2-\omega^2=0$

$$\omega = \pm\sqrt{2} \rightarrow G(j\omega) = -8/3 = -2,67$$

Análise do comportamento em torno da origem



Seja o contorno pela direita e  $s=e^{j\theta}$ , sendo que  $\theta$  varia de  $0^-$  a  $0^+$ , de  $-90^\circ$  a  $+90^\circ$ , no **sentido anti-horário**.

## Exemplo 3 – zero na origem

Assim,

$$G(s) = \frac{8\varepsilon e^{j\theta}}{(\varepsilon e^{j\theta} - 1)(\varepsilon e^{j\theta} - 2)}$$

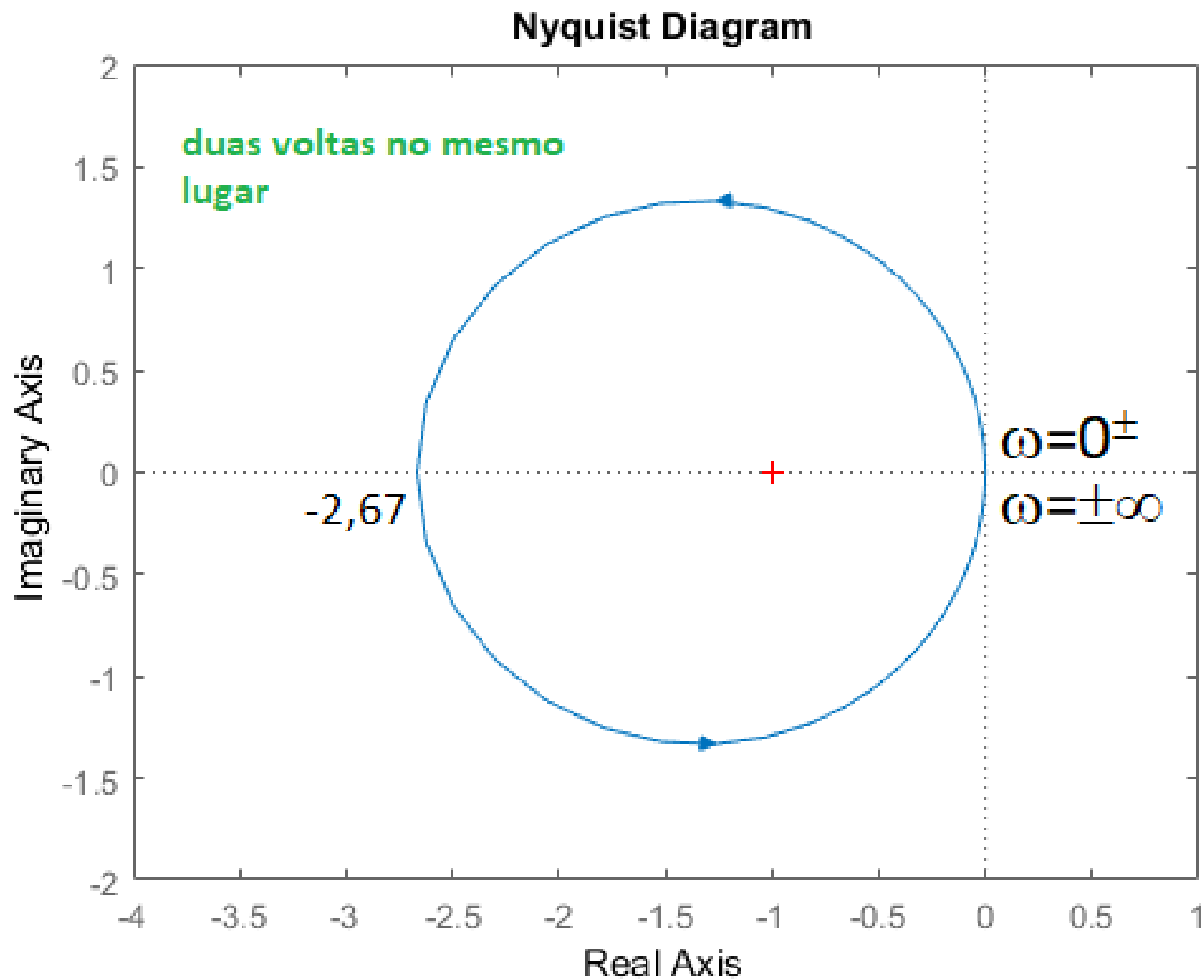
Para  $\varepsilon \rightarrow 0$ , tem-se

$$G(s) = \frac{0}{2}$$

que representa no Diagrama de Nyquist uma **semicircunferência de raio ZERO.**

Ou seja, a presença de um zero na origem não gera alterações no diagrama de Nyquist.

## Exemplo 3 – zero na origem





## Exemplo 3 – zero na origem

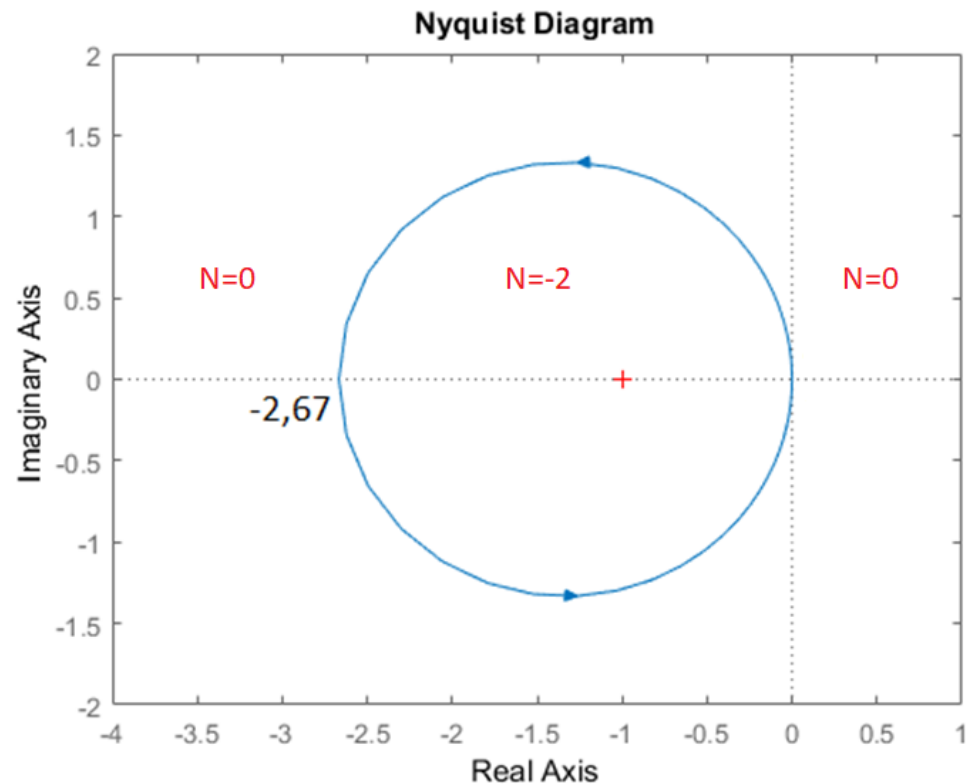
### Análise da estabilidade

Como  $G(s)$  possui 2 polos no SPD,  $P=2$ . Logo, para estabilidade é necessário  $N=-2$  (2 voltas no sentido anti-horário). Do Diagrama de Nyquist observa-se esta condição para

$$-\frac{8}{3} < -\frac{1}{K} < 0$$

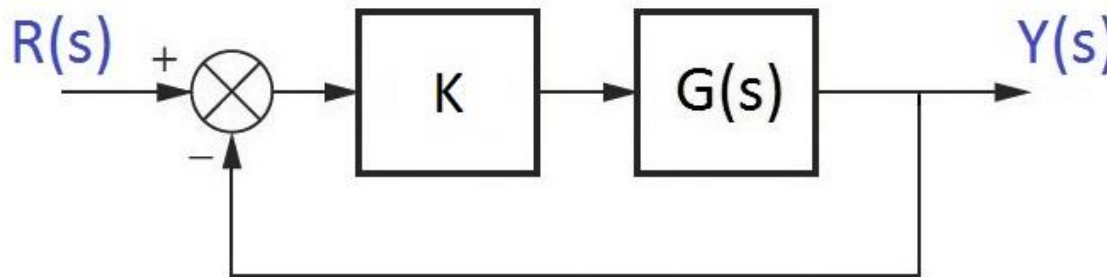
Portanto, o sistema é estável para

$$K > 0,375$$



## Exemplo 4 – polo na origem e atraso

Analisar a estabilidade do sistema para  $-\infty < K < \infty$ , utilizando o Critério de Nyquist.



$$G(s) = \frac{1}{s} e^{-s}$$

$$G(j\omega) = \frac{1}{\omega} [-\text{sen}(\omega) + j \cos(\omega)]$$

## Exemplo 4 – polo na origem e atraso

Como visto anteriormente

$$\omega = 0^+ \quad G(j\omega) = -1 - j\infty = \infty \angle -90^\circ$$

$$\omega \rightarrow \infty \quad G(\infty) \approx \frac{1}{j\omega} = 0 \angle -90^\circ$$

$$\omega = -\infty \quad G(\infty) \approx 0 \angle +90^\circ$$

$$\omega = 0^- \quad G(j\omega) = \infty \angle 90^\circ$$

## Exemplo 4 – polo na origem e atraso

Cruzamento com eixo real:  $\text{Im}[G(j\omega)]=0$

$$\frac{-\cos(\omega)}{\omega} = 0 \rightarrow \omega = \frac{\pi}{2}, \frac{3\pi}{2}, \frac{5\pi}{2}, \dots$$

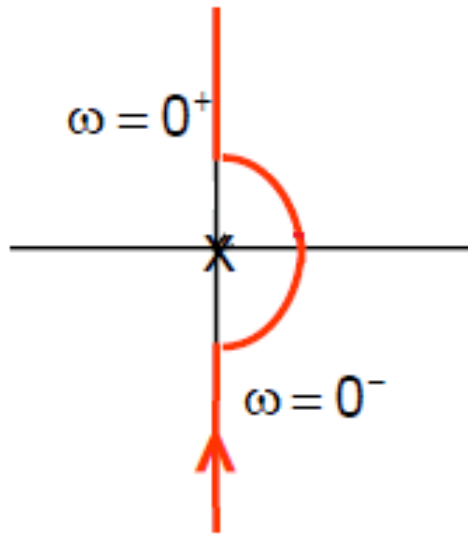
Cruzamento com eixo imaginário:  $\text{Re}[G(j\omega)]=0$

$$\frac{-\sin(\omega)}{\omega} = 0 \rightarrow \omega = \pi, 2\pi, 3\pi, \dots$$

Frequência	Real $[G(j\omega)]$	Imag $[G(j\omega)]$
$\omega = \pi/2$	$-2/\pi$	0
$\omega = \pi$	0	$1/\pi$
$\omega = 3\pi/2$	$2/3\pi$	0
$\omega = 2\pi$	0	$-1/2\pi$

## Exemplo 4 – polo na origem e atraso

### Análise do comportamento em torno da origem



Seja um contorno pela direita e  $s = \varepsilon e^{j\theta}$ , sendo que  $\theta$  varia de  $0^-$  a  $0^+$ , de  $-90^\circ$  a  $+90^\circ$ , no **sentido anti-horário**.

Assim,

$$G(s) = \frac{1}{\varepsilon e^{j\theta}} e^{-\varepsilon e^{j\theta}}$$

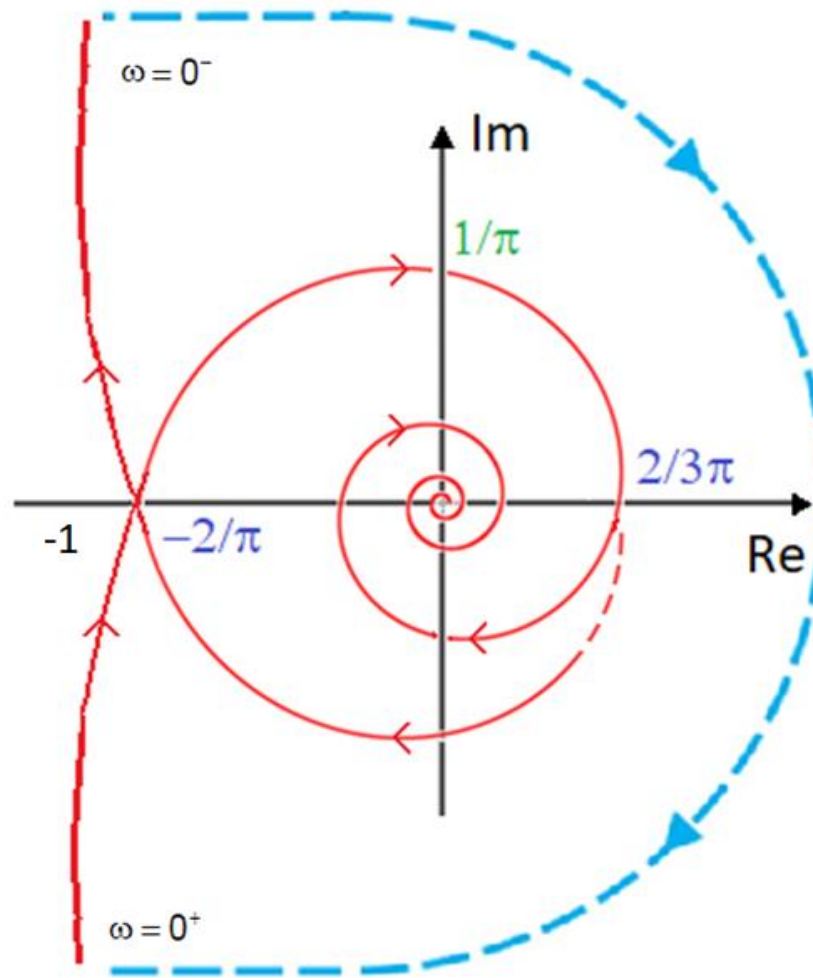
Para  $\varepsilon \rightarrow 0$ , tem-se

$$G(s) = \frac{1}{0} e^{-j\theta} = \infty \angle -\theta$$

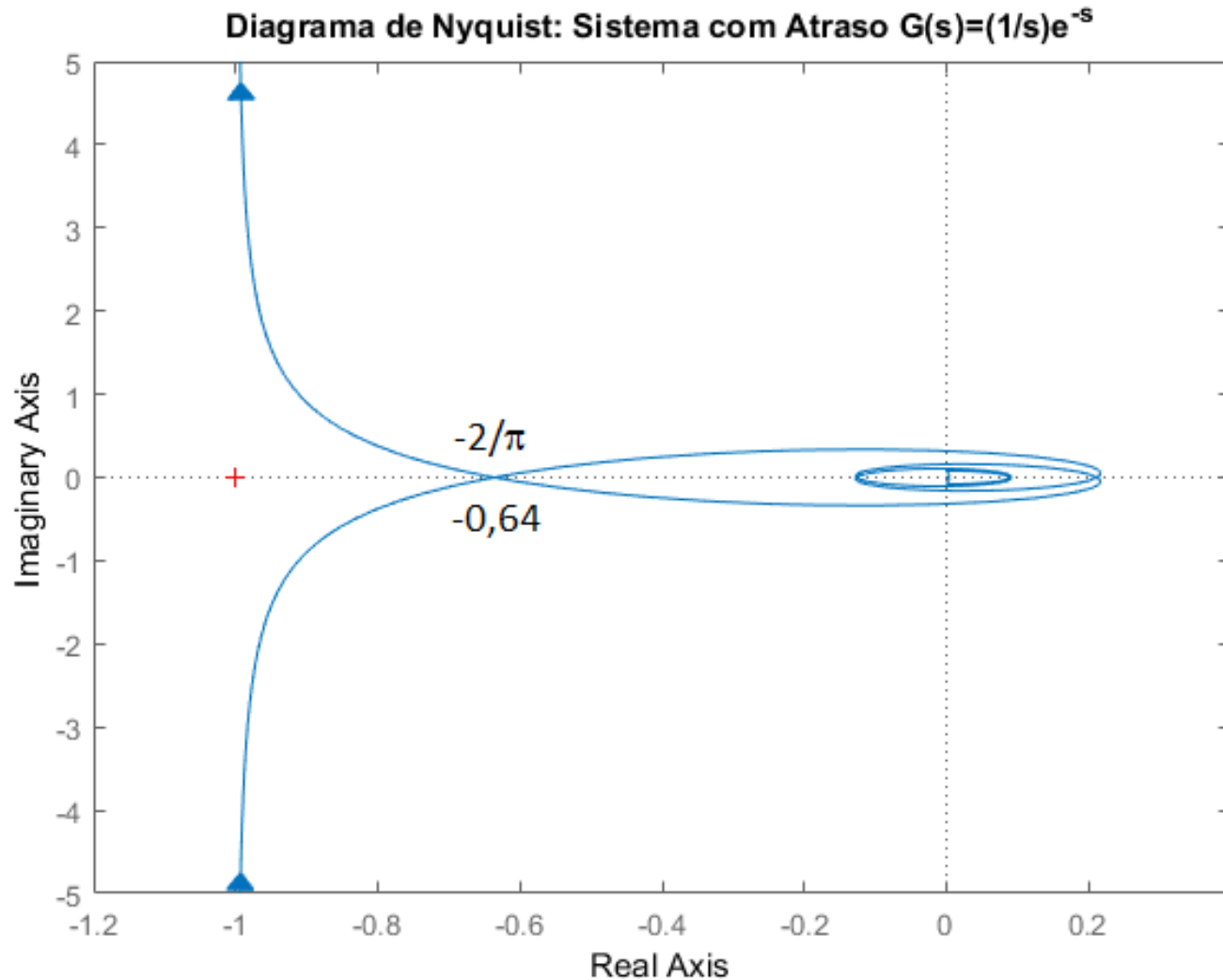
que representa uma **semicircunferência de raio infinito no sentido horário**.

## Exemplo 4 – polo na origem e atraso

Diagrama de Nyquist

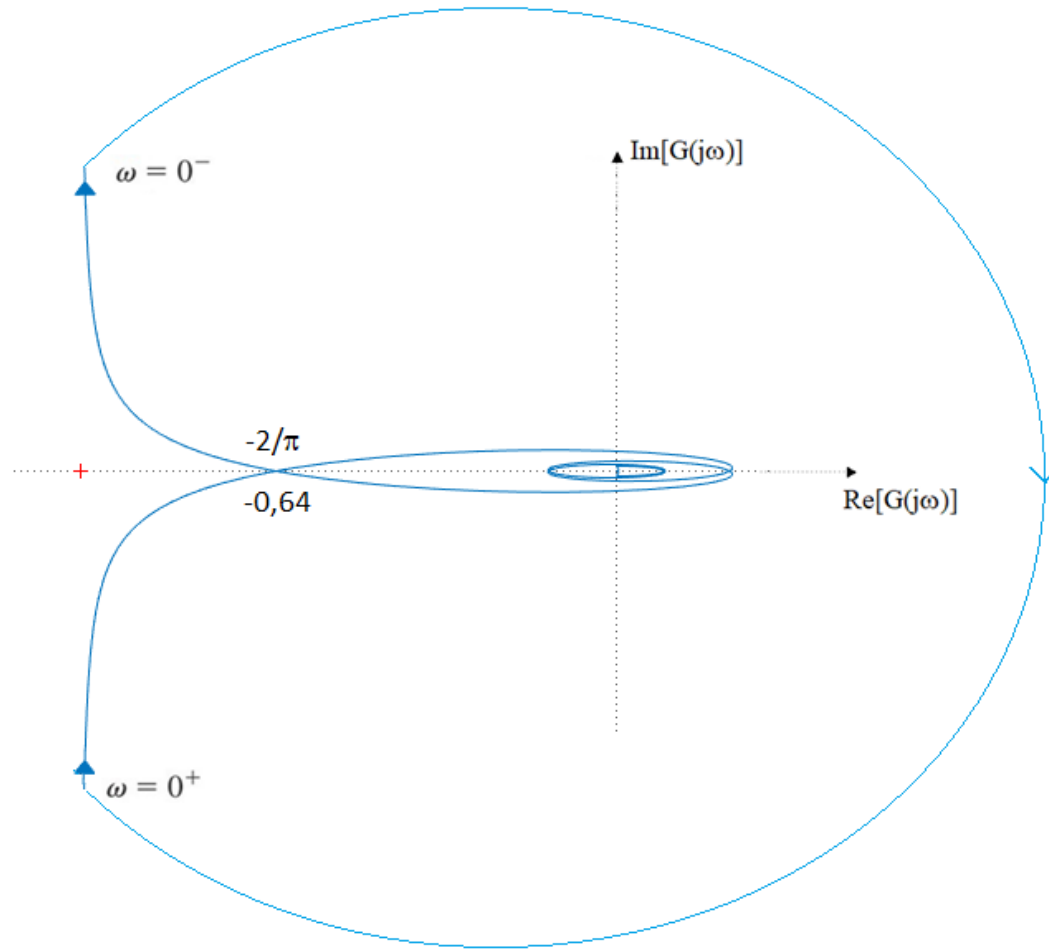


## Exemplo 4 – polo na origem e atraso





## Exemplo 4 – polo na origem e atraso



## Exemplo 4 – polo na origem e atraso

### Análise da estabilidade

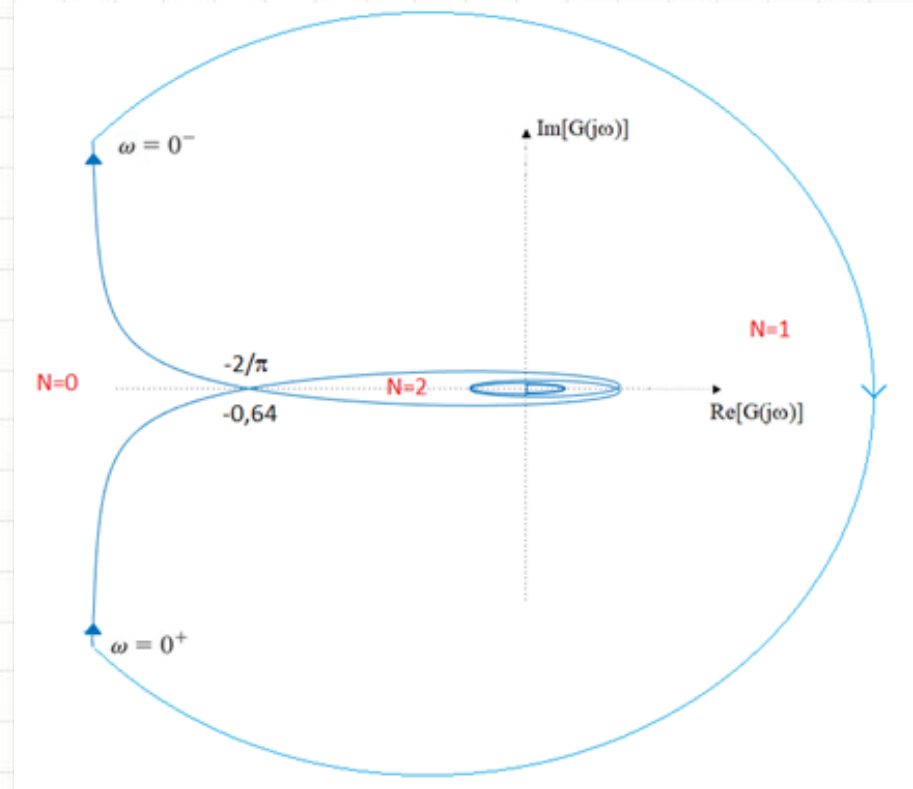
Como  $G(s)$  não possui polos no SPD,  $P=0$ . Logo, para estabilidade é necessário  $N=0$ .

Do diagrama de Nyquist observa-se esta condição para

$$-\frac{1}{K} < -\frac{2}{\pi}$$

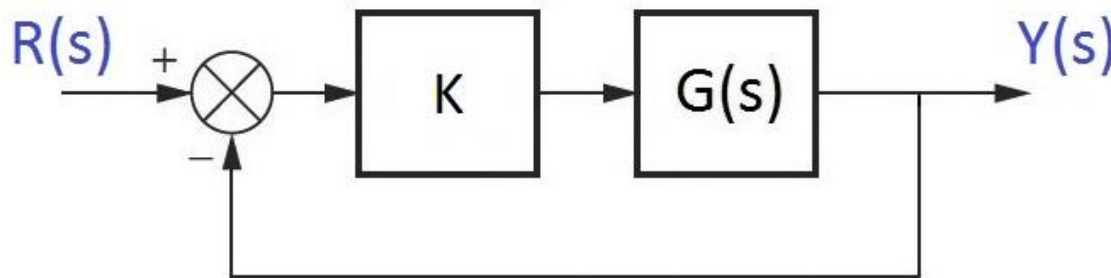
Portanto, o sistema é estável para

$$0 < K < \frac{\pi}{2}$$



## Exemplo 5 – polo na origem e fase não mínima

Analisar a estabilidade do sistema para  $-\infty < K < +\infty$ , utilizando o Critério de Nyquist.



$$G(s) = \frac{1}{s(s-1)}$$

$$G(j\omega) = \frac{-1}{\omega^2 + 1} + j \frac{1}{\omega(\omega^2 + 1)}$$

## Exemplo 5 – polo na origem e fase não mínima

### Diagrama de Nyquist

$$G(j\omega) = \frac{-1}{\omega^2 + 1} + j \frac{1}{\omega(\omega^2 + 1)}$$

$$\omega = 0^+ \quad G(j\omega) = -1 + j\infty = \infty \angle 90^\circ$$

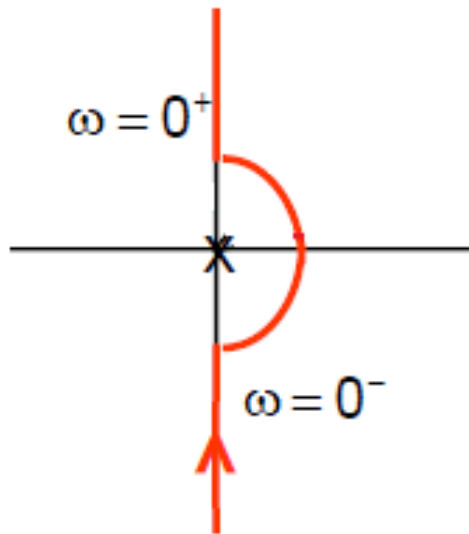
$$\omega = +\infty \quad G(\infty) \approx \frac{1}{(j\omega)^2} = 0 \angle 180^\circ$$

$$\omega = -\infty \quad G(\infty) \approx 0 \angle -180^\circ$$

$$\omega = 0^- \quad G(j\omega) = \infty \angle -90^\circ$$

## Exemplo 5 – polo na origem e fase não mínima

Cruzamentos com eixos real e imaginário: apenas no infinito.  
Comportamento em torno da origem



Seja um contorno pela direita e  $s = \varepsilon e^{j\theta}$ , sendo que  $\theta$  varia de  $0^-$  a  $0^+$ , de  $-90^\circ$  a  $+90^\circ$ , no **sentido anti-horário**. Assim,

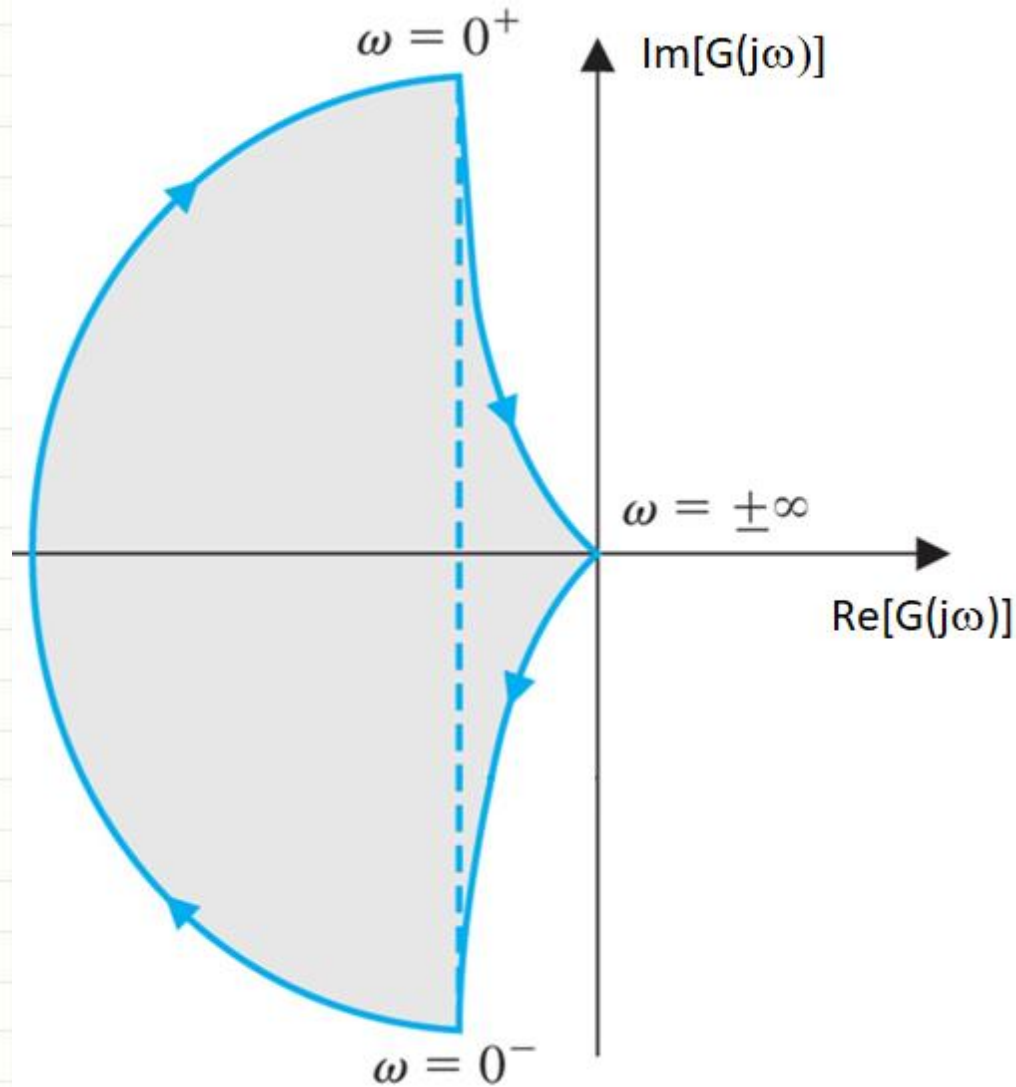
$$G(s) = \frac{1}{\varepsilon e^{j\theta}} \frac{1}{(\varepsilon e^{j\theta} - 1)}$$

Para  $\varepsilon \rightarrow 0$ , tem-se

$$G(s) \approx \infty e^{-j\theta}$$

que representa uma **semicircunferência de raio infinito no sentido horário**.

## Exemplo 5 – polo na origem e fase não mínima



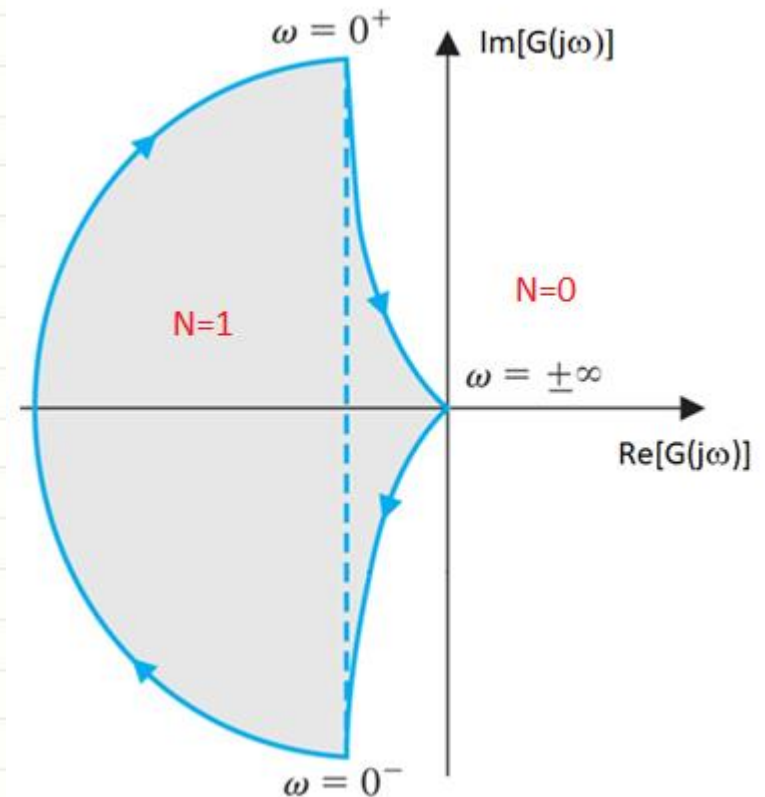
## Exemplo 5 – polo na origem e fase não mínima

### Análise da estabilidade

Como  $P=1$ , para estabilidade é necessário  $N=-1$  (uma volta no sentido anti-horário).

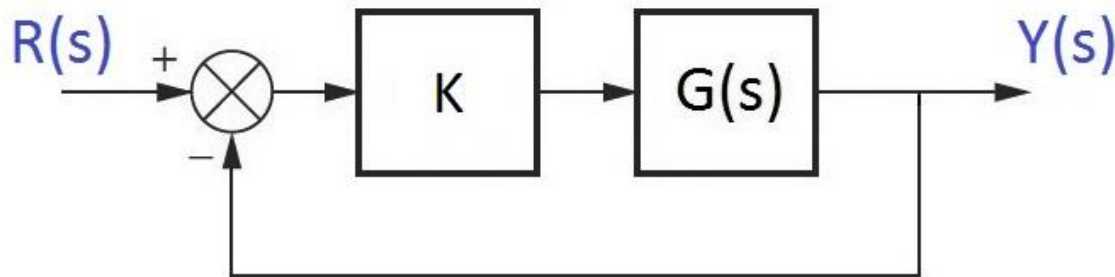
Do gráfico, observa-se que esta condição é impossível.

Logo, o **sistema é instável para qualquer valor de K.**



## Exemplo 6 – polo na origem e fase não mínima

Analisar a estabilidade do sistema para  $-\infty < K < +\infty$ , utilizando o Critério de Nyquist.



$$G(s) = \frac{s - 2}{s(s + 1)^2}$$



## Exemplo 6 – polo na origem e fase não mínima

$$G(s) = \frac{s-2}{s(s+1)^2}$$

$$G(j\omega) = \frac{5-\omega^2}{(1-\omega^2)+4\omega^2} + j \frac{2(1-2\omega^2)}{\omega[(1-\omega^2)+4\omega^2]}$$

$$\omega = 0^+ \quad G(j\omega) = 5 + j\infty = \infty \angle 90^\circ$$

$$\omega = +\infty \quad G(\infty) \approx \frac{1}{(j\omega)^2} = 0 \angle -180^\circ$$

$$\omega = -\infty \quad G(\infty) = 0 \angle 180^\circ$$

$$\omega = 0^- \quad G(j\omega) = \infty \angle -90^\circ$$

## Exemplo 6 – polo na origem e fase não mínima

$$G(j\omega) = \frac{5 - \omega^2}{(1 - \omega^2) + 4\omega^2} + j \frac{2(1 - 2\omega^2)}{\omega[(1 - \omega^2) + 4\omega^2]}$$

**Cruzamento com eixo real:  $\text{Im}[G(j\omega)] = 0$**

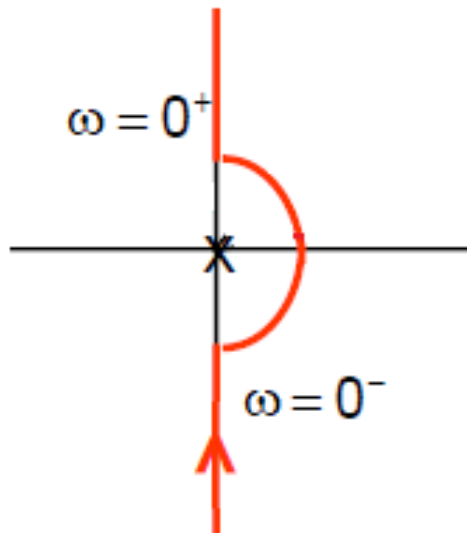
$$\omega = \pm\sqrt{0,5} = \pm 0,707 \rightarrow G(j\omega) = 2$$

**Cruzamento com eixo imaginário:  $\text{Re}[G(j\omega)] = 0$**

$$\omega = \pm\sqrt{5} = \pm 2,23 \rightarrow G(j\omega) = -0,22$$

## Exemplo 6 – polo na origem e fase não mínima

### Comportamento em torno da origem



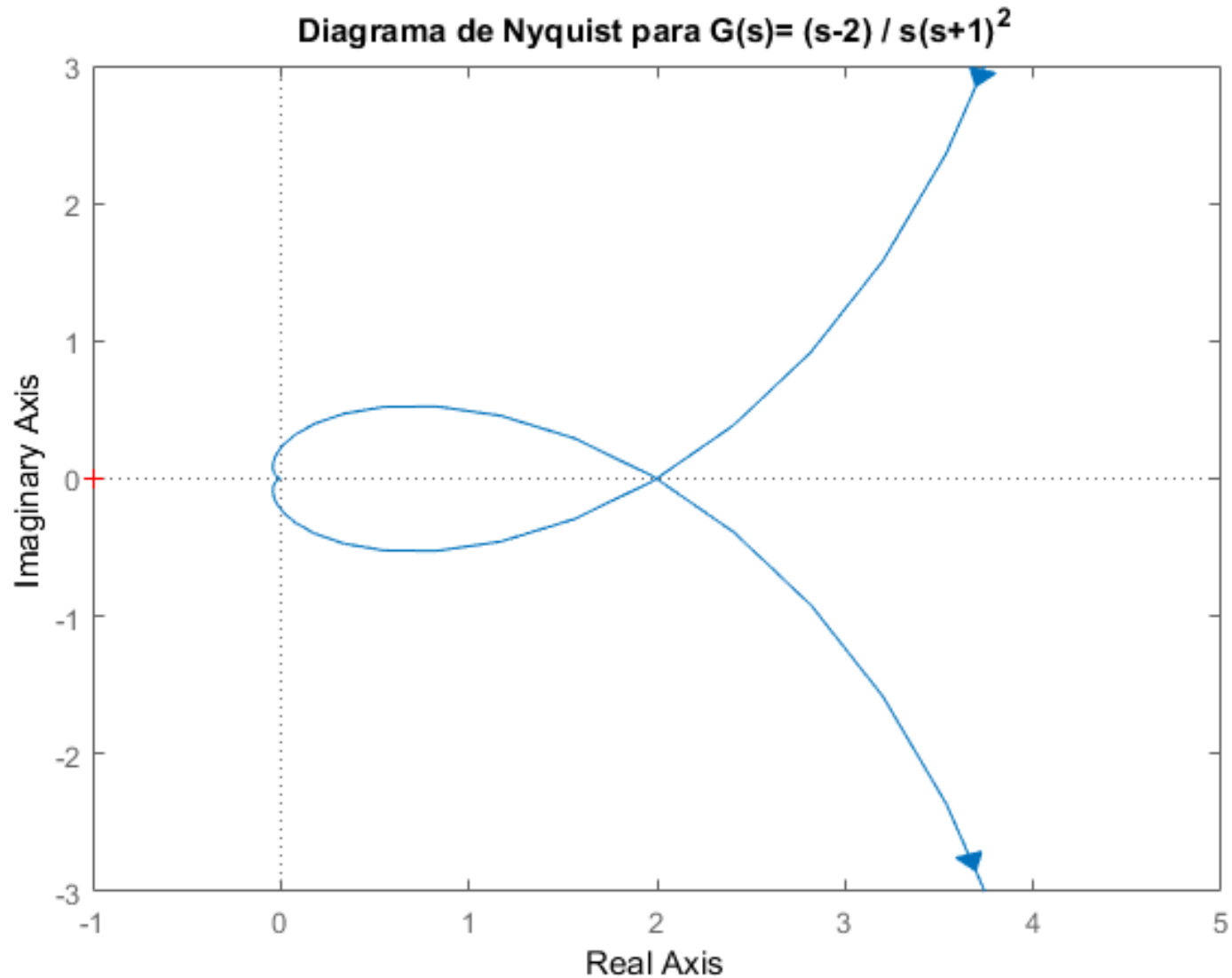
Seja um contorno pela direita e  $s = \varepsilon e^{j\theta}$ , sendo que  $\theta$  varia de  $0^-$  a  $0^+$ , de  $-90^\circ$  a  $+90^\circ$ , no **sentido anti-horário**.

Para  $\varepsilon \rightarrow 0$ , tem-se

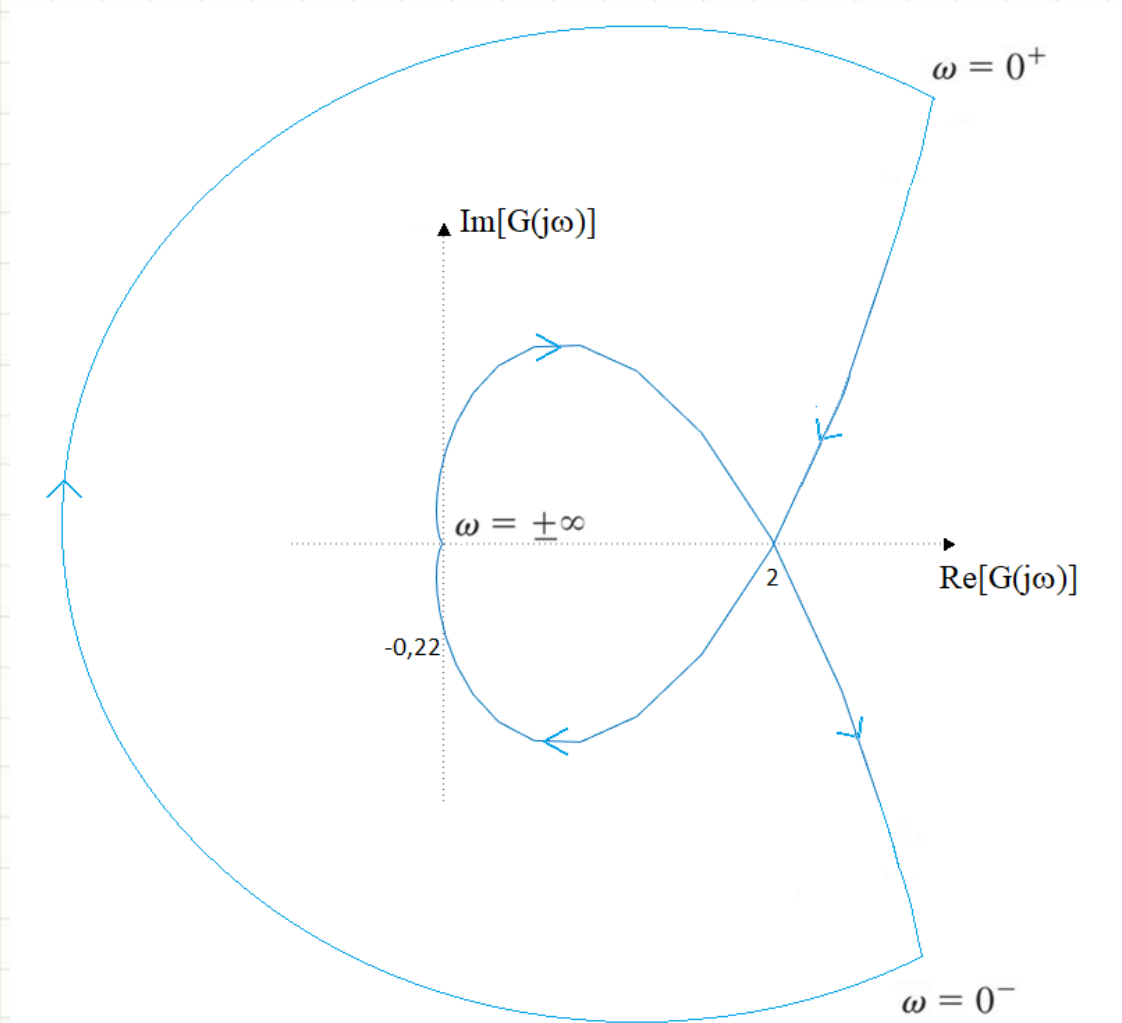
$$G(s) \approx \infty e^{-j\theta}$$

que representa uma **semicircunferência de raio infinito no sentido horário**.

## Exemplo 6 – polo na origem e fase não mínima



## Exemplo 6 – polo na origem e fase não mínima



## Exemplo 6 – polo na origem e fase não mínima

### Análise da estabilidade

Como  $P=0$ , para estabilidade é necessário  $N=0$ .  
Do gráfico, observa-se que esta condição para:

$$-\frac{1}{K} > 2$$

Logo, o **sistema é estável para**

$$-\frac{1}{2} < K < 0$$

